

# *études*

---

## *géométrie sphérique : géodésiques et loxodromies (navigation aérienne ou maritime)*

*par Daniel Lehmann  
Université de Lille*

### **I. Introduction**

Les géodésiques de la sphère sont les arcs de "grands cercles", c'est-à-dire les arcs des cercles obtenus comme intersection de la sphère avec un plan diamétral (i.e. passant par le centre de la sphère). Leur intérêt, en navigation, est de réaliser le plus court chemin pour aller d'un point à l'autre de la surface terrestre. Leur inconvénient est de couper les méridiens rencontrés sous un angle généralement variable, qui oblige le navigateur voulant suivre une telle géodésique à modifier constamment son cap.

Les courbes qui coupent les méridiens sous un angle (\*) constant s'appellent les "*loxodromies*", et sont évidemment plus faciles à suivre par un navigateur qui n'a qu'à maintenir toujours le même cap (abstraction faite des dérives dues aux vents ou aux courants). Seuls, les arcs de cercle portés par un méridien ou par l'équateur sont à la fois géodésiques et loxodromiques. Les cercles parallèles (latitude constante) sont des loxodromies, mais non des géodésiques (exception faite pour l'équateur).

(\*) Angle de 2 courbes sécantes : c'est l'angle des tangentes au point d'intersection.

Nous verrons par exemple plus loin que la distance (géodésique) de Paris (Roissy) à New York (Kennedy airport) est de 5 835 km, mais on doit partir vers le Nord Ouest (cap  $292^\circ$  plus exactement, avec les conventions précisées plus loin) et on arrive en naviguant vers le Sud Ouest (cap  $233^\circ$  plus exactement). Par contre, une navigation à cap constant devrait se faire au  $261^\circ$ , avec un kilométrage de 6 077 km, soit 242 km en plus.

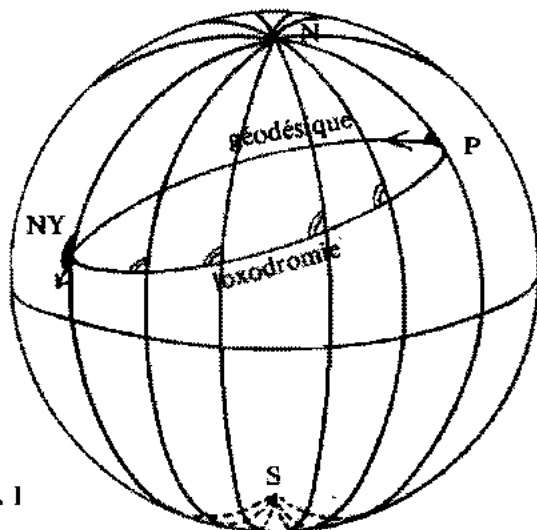


Fig. 1

Une méthode de navigation permettant de concilier les deux impératifs d'économie et de commodité va consister à approcher la géodésique par des tronçons loxodromiques. Plus précisément, on va diviser la géodésique joignant un point  $M_0$  de la terre à un autre  $M_n$  en  $n$  parties d'égales longueurs  $\overline{M_0M_1}$ ,  $\overline{M_1M_2}$ , ...  $\overline{M_{n-1}M_n}$  avec  $M_n = M$  ( $n$  entier  $\geq 1$ ), et la navigation se fera le long d'une loxodromie entre 2 points consécutifs  $M_i$  et  $M_{i+1}$ .

Nous allons voir que l'équation différentielle qui donne les loxodromies est facile à intégrer, et que tous les calculs de géodésiques et de loxodromies se laissent aisément programmer. Nous écrirons explicitement un tel programme pour une TI-58, qui n'est pas loin des limites de capacité de la calculatrice : ayant en effet besoin de 386 pas de programme, nous serons contraints de n'utiliser que 10 mémoires (partition 399-09). Bien entendu, beaucoup de résultats partiels devront être notés au fur et à mesure sur le "journal de navigation", parce qu'ensuite effacés afin que les mémoires puissent être réutilisées. La TI-59, dont la capacité est double, permettrait une rédaction du programme un peu moins acrobatique ou une mise en mémoire des résultats successifs.

## II. Notations et conventions

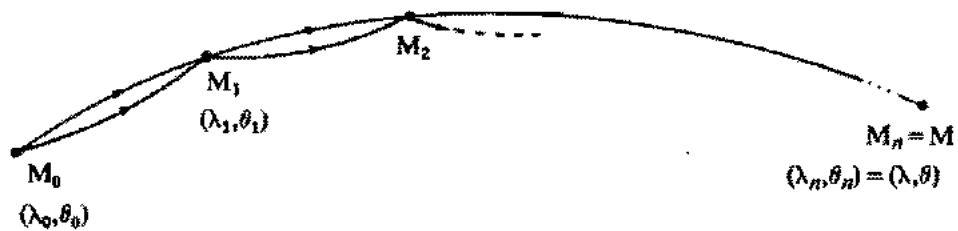


Fig. 2

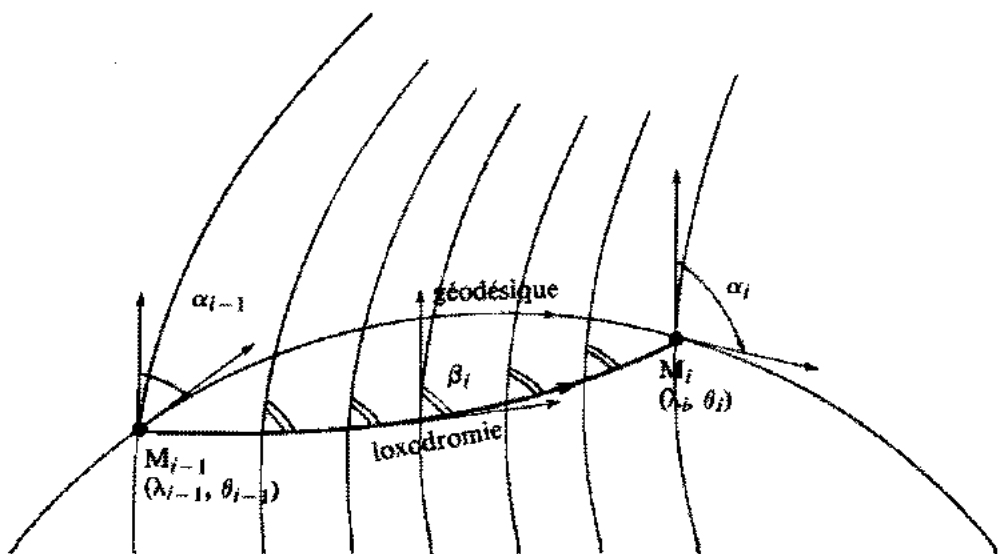


Fig. 3

Utilisons les conventions suivantes :

- les latitudes varient de  $-90^\circ$  à  $+90^\circ$   
(signe + pour les latitudes N  
signe - pour les latitudes S),
- les longitudes varient de  $-180^\circ$  à  $+180^\circ$   
(signe + pour les longitudes E  
signe - pour les longitudes W),
- les caps varient de  $0^\circ$  (N) à  $360^\circ$  (N)  
en passant par  $90^\circ$  (E),  $180^\circ$  (S),  $270^\circ$  (W).

[Il s'agit de caps géographiques (angles avec le méridien), et non magnétiques : les déclinaisons ne sont pas prises en compte.]

|        |  |
|--------|--|
| Notons | $\lambda_0$ la latitude du point de départ $M_0$ ,<br>$\theta_0$ la longitude du point de départ $M_0$ ,<br>$\lambda$ la latitude du point d'arrivée $M$ ,<br>$\theta$ la longitude du point d'arrivée $M$ . |
|--------|--|

Soit  $D$  la distance géodésique de  $M_0$  à  $M$ ,  $n$  un entier  $\geq 1$  et  $M_i$  ( $i = 0, 1, \dots, n$ ) les points qui divisent le segment géodésique  $\overline{M_0M}$  en  $n$  tronçons  $\overline{M_{i-1}M_i}$  ( $1 \leq i \leq n$ ) d'égalles longueurs  $\frac{D}{n}$ .

|        |  |
|--------|--|
| Notons | $\lambda_i$ la latitude de $M_i$ ( $\lambda_n = \lambda$ ),<br>$\theta_i$ la longitude de $M_i$ ( $\theta_n = \theta$ ),<br>$\beta_i$ le cap loxodromique de $M_{i-1}$ à $M_i$ ,<br>$\delta_i$ la longueur de la loxodromie de $M_{i-1}$ à $M_i$ ,<br>("distance loxodromique" $\delta_i \neq \frac{D}{n}$ ),<br>$\alpha_i$ le cap géodésique en $M_i$ . |
|--------|--|

On notera encore :

$\Phi \in [0^\circ, 180^\circ]$  l'angle de vecteurs  $(\overrightarrow{OM_0}, \overrightarrow{OM})$ .

$\Psi = \frac{1}{n} \cdot \Phi \in [0^\circ, 180^\circ]$  les angles égaux  $(\overrightarrow{OM_{i-1}}, \overrightarrow{OM_i})$ .

$R$  la longueur (en km) du rayon terrestre ( $\pi \times R = 20\,000$  km).

$\vec{\Omega} = \frac{1}{R^2} \overrightarrow{OM_0} \wedge \overrightarrow{OM}$  (vecteur normal au plan de la géodésique joignant  $M_0$  à  $M$ ,  $O$  désignant le centre de la terre).

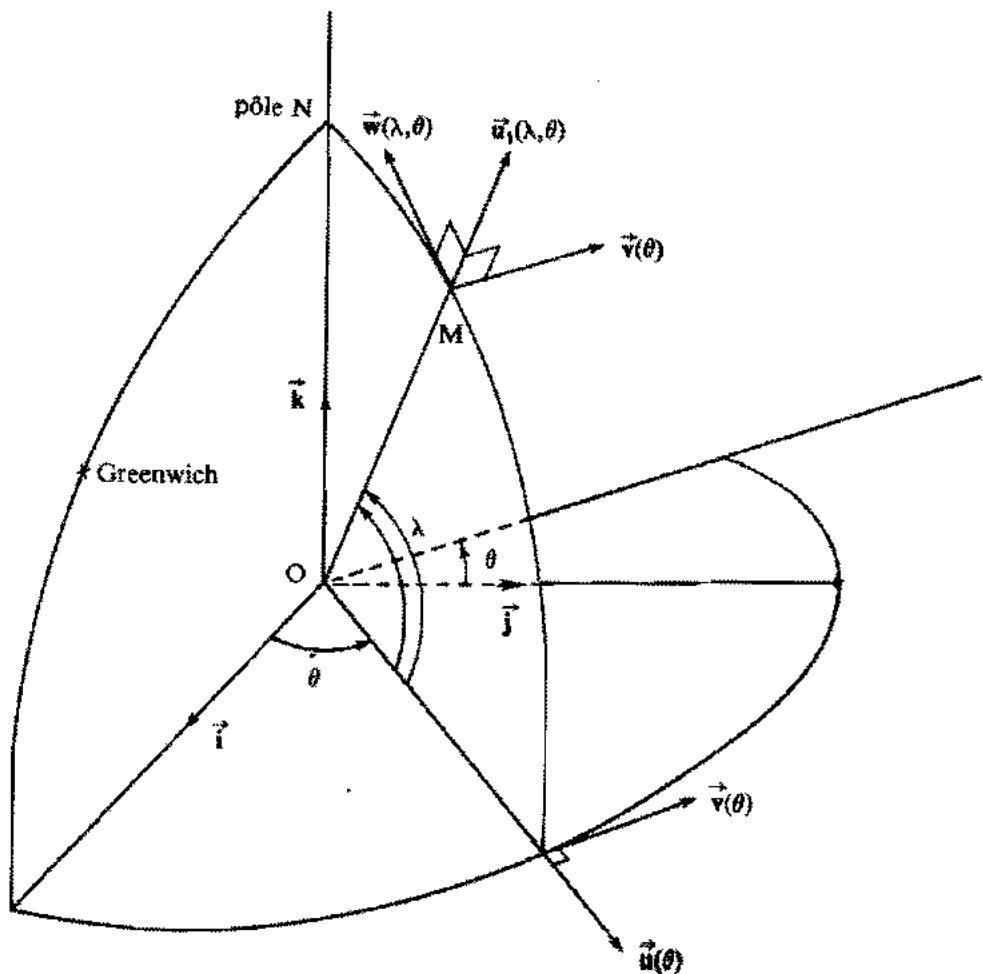


Fig. 4

On notera :

$\vec{i}$  le vecteur unitaire de la demi-droite joignant O au point de latitude 0 sur le méridien de Greenwich,

$\vec{k}$  le vecteur unitaire de la demi droite joignant O au pôle Nord,

$$\vec{j} = \vec{k} \wedge \vec{i}.$$

Si M désigne le point de latitude  $\lambda$  et longitude  $\theta$ ,  $\overrightarrow{OM} = R \vec{u}_1(\lambda, \theta)$  avec :

$$\vec{u}_1(\lambda, \theta) = \cos \lambda \vec{u}(\theta) + \sin \lambda \vec{k}$$

$$\vec{u}(\theta) = \cos \theta \vec{i} + \sin \theta \vec{j}$$

On posera encore :

$$\begin{aligned}\vec{w}(\lambda, \theta) &= \vec{u}_1(\lambda + 90^\circ, \theta) \\ \vec{v}(\theta) &= \vec{u}(\theta + 90^\circ)\end{aligned}$$

### III. Formules utilisées et démonstration

#### 1) Calcul de $\Phi$ , $\Psi$ , D

$$\begin{aligned}\cos \Phi &= \langle \vec{u}_1(\lambda_0, \theta_0), \vec{u}_1(\lambda, \theta) \rangle \quad (\text{produit scalaire}) \\ &= \langle \cos \lambda_0 \vec{u}(\theta_0) + \sin \lambda_0 \vec{k}, \cos \lambda \vec{u}(\theta) + \sin \lambda \vec{k} \rangle\end{aligned}$$

$$\cos \Phi = \cos \lambda_0 \cos \lambda \cos(\theta - \theta_0) + \sin \lambda_0 \sin \lambda$$

$$\Phi = (\text{Arc cos}(\cos \Phi))_{\text{deg}} \quad \text{car } \Phi \in [0, 180^\circ]$$

$$\Psi = \frac{1}{n} \Phi$$

$$D_{\text{km}} = R_{\text{km}} \times \Phi_{\text{rd}}$$

$$D_{\text{km}} = \frac{1000}{9} \times \Phi_{\text{deg}}$$

#### 2) Calcul de $\vec{\Omega}$ , et de $\alpha_1$

$$\begin{aligned}\vec{\Omega} &= \vec{u}_1(\lambda_0, \theta_0) \wedge \vec{u}_1(\lambda, \theta) \\ &= (\cos \lambda_0 \vec{u}(\theta_0) + \sin \lambda_0 \vec{k}) \wedge (\cos \lambda \vec{u}(\theta) + \sin \lambda \vec{k}) \\ &= \cos \lambda_0 \cos \lambda \sin(\theta - \theta_0) \vec{k} - \sin \lambda \cos \lambda_0 \vec{v}(\theta_0) + \sin \lambda_0 \cos \lambda \vec{v}(\theta).\end{aligned}$$

Remplaçant  $\vec{v}(\theta)$  par  $-\sin(\theta - \theta_0) \vec{u}(\theta_0) + \cos(\theta - \theta_0) \vec{v}(\theta_0)$ , on obtient :

$$\begin{aligned}\vec{\Omega} &= X \vec{w}(\lambda_0, \theta_0) + Y \vec{v}(\theta_0) \\ \text{avec } \begin{cases} X = \cos \lambda \sin(\theta - \theta_0) \\ Y = \sin \lambda_0 \cos \lambda \cos(\theta - \theta_0) - \sin \lambda \cos \lambda_0 \end{cases}\end{aligned}$$

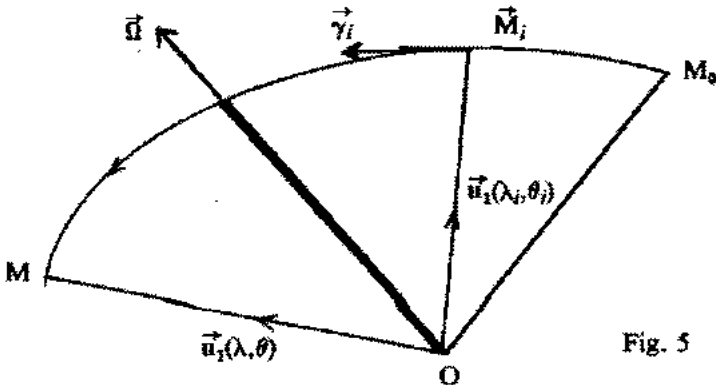


Fig. 5

Bien évidemment,  $\vec{\Omega}$  est encore positivement colinéaire à

$$\vec{u}_i(\lambda_i, \theta_i) \wedge \vec{v}_i(\lambda_i, \theta_i) = X_i \vec{w}(\lambda_i, \theta_i) + Y_i \vec{v}(\theta_i)$$

avec 
$$\begin{cases} X_i = \cos \lambda_i \sin(\theta - \theta_i) \\ Y_i = \sin \lambda_i \cos \lambda_i \cos(\theta - \theta_i) - \sin \lambda_i \cos \lambda_i \end{cases}$$

(la courbe est orientée de  $M_0$  vers  $M$ , et  $\vec{\gamma}_i$  est le vecteur unitaire tangent orienté).

Le vecteur unitaire tangent  $\vec{\gamma}_i$  en  $M_i$  à la géodésique joignant  $M_0$  à  $M$  est positivement colinéaire à  $\vec{\Omega} \wedge \vec{u}_i(\lambda_i, \theta_i) = -Y_i \vec{w}(\lambda_i, \theta_i) + X_i \vec{v}(\theta_i)$

d'où 
$$\begin{cases} \alpha_i = (\vec{w}(\lambda_i, \theta_i), \vec{\gamma}_i) \\ \text{avec la convention } (\vec{w}(\lambda_i, \theta_i), \vec{v}(\theta_i)) = +90^\circ \end{cases}$$

(ce qui revient à définir l'orientation du plan tangent à la sphère en  $M_i$ ).

### 3) Calcul de $M_j$ à partir de $M_{j-1}$

Soit  $\Psi = \frac{1}{R} \Phi = (\overline{OM}_{j-1}, \overline{OM}_j)$  (angle de vecteurs compris entre 0 et  $180^\circ$ ).

On a alors :

$$\begin{aligned} \vec{u}_j(\lambda_j, \theta_j) &= \cos \Psi \vec{u}_{j-1}(\lambda_{j-1}, \theta_{j-1}) + \sin \Psi \vec{\gamma}_{j-1} \\ &= \cos \Psi \vec{u}_{j-1}(\lambda_{j-1}, \theta_{j-1}) + \\ &\quad \sin \Psi (\cos \alpha_{j-1} \vec{w}(\lambda_{j-1}, \theta_{j-1}) + \sin \alpha_{j-1} \vec{v}(\theta_{j-1})) \\ &= K_{j-1} \vec{u}(\theta_{j-1}) + L_{j-1} \vec{v}(\theta_{j-1}) + z_j \vec{k} \end{aligned}$$

avec 
$$\begin{cases} K_{j-1} = \cos \Psi \cos \lambda_{j-1} - \sin \Psi \cos \alpha_{j-1} \sin \lambda_{j-1} \\ L_{j-1} = \sin \Psi \sin \alpha_{j-1} \\ z_j = \cos \Psi \sin \lambda_{j-1} + \sin \Psi \cos \alpha_{j-1} \cos \lambda_{j-1} \end{cases}$$

soit  $\vec{u}_j(\lambda_j, \theta_j) = x_j \vec{i} + y_j \vec{j} + z_j \vec{k}$

avec 
$$\begin{cases} x_j = K_{j-1} \cos \theta_{j-1} - L_{j-1} \sin \theta_{j-1} \\ y_j = K_{j-1} \sin \theta_{j-1} + L_{j-1} \cos \theta_{j-1} \end{cases}$$

d'où 
$$\lambda_j = (\text{Arc sin } z_j)_{\text{deg}} \in [-90^\circ, +90^\circ]$$

et 
$$\begin{cases} \theta_j = \delta \cdot (\text{Arc cos } \frac{x_j}{\cos \lambda_j})_{\text{deg}} \in [-180^\circ, +180^\circ] \\ \text{avec } \delta = \pm 1 \text{ selon le signe de } y_j \end{cases}$$

4) Calcul de  $\beta_i$  et  $\delta_i$ 

Soit  $r \mapsto Ru_r(\lambda(r), \theta(r))$  une courbe différentiable sur la sphère terrestre :

$$\frac{du_r}{dt} = \frac{d\lambda}{dt} \vec{w} + \frac{d\theta}{dt} \cos\lambda \vec{v} \quad \text{fait, avec } \vec{w}, \text{ un angle } \beta(r) \text{ tel que}$$

$$\operatorname{tg} \beta(r) = \cos\lambda \times \frac{d\theta}{dt} / \frac{d\lambda}{dt}, \quad \text{si } \frac{d\lambda}{dt} \neq 0$$

$$\operatorname{cotg} \beta(r) = 0, \quad \text{si } \frac{d\lambda}{dt} = 0.$$

$$\left( \begin{array}{ll} \beta(r) \in ]0, 180^\circ[ & \text{si } \frac{d\theta}{dt} > 0 \\ \beta(r) \in ]180^\circ, 360^\circ[ & \text{si } \frac{d\theta}{dt} < 0 \\ \beta(r) = 0 & \text{si } \frac{d\theta}{dt} = 0 \text{ et } \frac{d\lambda}{dt} > 0 \\ \beta(r) = 180^\circ & \text{si } \frac{d\theta}{dt} = 0 \text{ et } \frac{d\lambda}{dt} < 0 \end{array} \right)$$

Les loxodromies de cap constant  $\beta$  sont donc les solutions de l'équation différentielle  $d\theta = \operatorname{tg}\beta \frac{d\lambda}{\cos\lambda}$  (en dehors des pôles) si  $\operatorname{cotg} \beta \neq 0$

( $d\lambda = 0$  si  $\operatorname{cotg} \beta = 0$ ), d'où, par intégration, la loxodromie de cap constant  $\beta_i$  passant par  $M_{i-1}$  :

$$\left\{ \begin{array}{l} (\theta - \theta_{i-1})_{\text{rad}} = \operatorname{tg}\beta_i \times \operatorname{Log} \left[ \frac{1 + \sin\lambda}{\cos\lambda} \times \frac{\cos\lambda_{i-1}}{1 + \sin\lambda_{i-1}} \right] \quad \text{si } \operatorname{cotg}\beta_i \neq 0 \\ \lambda = \lambda_{i-1} \quad \text{si } \operatorname{cotg}\beta_i = 0. \quad \text{(cercle parallèle de latitude constante)} \end{array} \right.$$

On en déduit, pour que cette loxodromie passe par  $M_i(\lambda_i, \theta_i)$ , le calcul de  $\beta_i$  :

$$\operatorname{tg}\beta_i = (\theta_i - \theta_{i-1})_{\text{deg}} \times \frac{\pi}{180} \times \left[ \operatorname{Log} \left( \frac{1 + \sin\lambda_i}{1 + \sin\lambda_{i-1}} \times \frac{\cos\lambda_{i-1}}{\cos\lambda_i} \right) \right]^{-1}$$

$$\text{si } \lambda_i \neq \lambda_{i-1}$$

$$\operatorname{cotg}\beta_i = 0, \quad \text{si } \lambda_i = \lambda_{i-1}$$

avec en outre

$$\left( \begin{array}{ll} \beta_i \in ]0, 180^\circ[ & \text{si } \theta_i > \theta_{i-1}, \\ \beta_i \in ]180^\circ, 360^\circ[ & \text{si } \theta_i < \theta_{i-1}, \\ \beta_i = 0^\circ & \text{si } \theta_i = \theta_{i-1}, \lambda_i > \lambda_{i-1}, \\ \beta_i = 180^\circ & \text{si } \theta_i = \theta_{i-1}, \lambda_i < \lambda_{i-1}. \end{array} \right)$$



Le vecteur vitesse à la courbe  $t \mapsto R \vec{u}_i'(\lambda(t), \theta(t))$  a une norme égale à  $R \sqrt{\lambda'^2 + \cos^2 \lambda \theta'^2}$ .

Pour une loxodromie de cap constant  $\beta_j$ ,

$$\theta' \cos \lambda = \operatorname{tg} \beta_j \lambda', \text{ si } \cos \beta_j \neq 0 \quad (\lambda' = 0 \text{ si } \cos \beta_j = 0),$$

la norme du vecteur vitesse est égale à

$$R \left| \frac{\lambda'}{\cos \beta_j} \right| \text{ si } \cos \beta_j \neq 0 \quad (R |\cos \lambda| \cdot |\theta'| \text{ si } \cos \beta_j = 0).$$

On en déduit

|   |
|---|
| $(\delta_i)_{\text{km}} = \frac{1000}{9} \times \left  \frac{(\lambda_i - \lambda_{i-1})_{\text{deg}}}{\cos \beta_j} \right  \quad \text{si } \cos \beta_j \neq 0,$ $= \frac{1000}{9} \times  \cos \lambda_i \times (\theta_j - \theta_{j-1})_{\text{deg}}  \quad \text{si } \cos \beta_j = 0.$ |
|---|

#### IV - Rédaction du programme pour TI-58 ou TI-59

Utiliser la partition 399-09 pour la TI-58 ou toute partition de 399-79 à 879-09 pour la TI-59.

|     |    |     |                                     |         |     |    |     |                         |
|-----|----|-----|-------------------------------------|---------|-----|----|-----|-------------------------|
| 000 | 76 | LBL | introduction                        |         | 025 | 92 | RTN |                         |
| 001 | 11 | R   | des données                         | (SBR A) | 026 | 76 | LBL | Calculs de<br>D, Φ et Ψ |
| 002 | 22 | INV | ← λ <sub>0</sub>                    |         | 027 | 12 | 8   |                         |
| 003 | 58 | FIX |                                     |         | 028 | 43 | RCL |                         |
| 004 | 88 | DMS |                                     |         | 029 | 05 | 05  |                         |
| 005 | 42 | STD |                                     |         | 030 | 39 | COB |                         |
| 006 | 00 | 00  | λ <sub>0</sub> ∈ R <sub>0</sub>     |         | 031 | 65 | *   |                         |
| 007 | 91 | R/S | ← θ <sub>0</sub>                    |         | 032 | 43 | RCL |                         |
| 008 | 88 | DMS |                                     |         | 033 | 02 | 02  |                         |
| 009 | 42 | STD |                                     |         | 034 | 39 | COB |                         |
| 010 | 01 | 01  | θ <sub>0</sub> ∈ R <sub>1</sub>     |         | 035 | 65 | *   |                         |
| 011 | 91 | R/S | ← λ                                 |         | 036 | 43 | RCL |                         |
| 012 | 88 | DMS |                                     |         | 037 | 00 | 00  |                         |
| 013 | 42 | STD |                                     |         | 038 | 39 | COB |                         |
| 014 | 02 | 02  | λ ∈ R <sub>2</sub>                  |         | 039 | 85 | +   |                         |
| 015 | 91 | R/S | ← θ                                 |         | 040 | 43 | RCL |                         |
| 016 | 88 | DMS |                                     |         | 041 | 02 | 02  |                         |
| 017 | 42 | STD | θ ∈ R <sub>3</sub>                  |         | 042 | 38 | SIN |                         |
| 018 | 03 | 03  |                                     |         | 043 | 65 | *   |                         |
| 019 | 75 | -   |                                     |         | 044 | 43 | RCL |                         |
| 020 | 43 | RCL |                                     |         | 045 | 00 | 00  |                         |
| 021 | 01 | 01  |                                     |         | 046 | 38 | SIN |                         |
| 022 | 95 | =   |                                     |         | 047 | 95 | =   | cos Φ                   |
| 023 | 42 | STD |                                     |         | 048 | 22 | INV |                         |
| 024 | 05 | 05  | θ - θ <sub>0</sub> ∈ R <sub>5</sub> |         | 049 | 39 | COB |                         |

|     |    |     |   |     |    |     |   |
|-----|----|-----|---|-----|----|-----|---|
| 050 | 42 | STO |   | 099 | 75 | -   |   |
| 051 | 04 | 04  | $\Phi \in R_4$                            | 100 | 43 | RCL |   |
| 052 | 65 | x   |   | 101 | 02 | 02  |   |
| 053 | 53 | (   |   | 102 | 39 | CDS |   |
| 054 | 01 | 1   |   | 103 | 65 | x   |   |
| 055 | 00 | 0   |   | 104 | 43 | RCL |   |
| 056 | 00 | 0   |   | 105 | 00 | 00  |   |
| 057 | 00 | 0   |   | 106 | 38 | SIN |   |
| 058 | 55 | +   |   | 107 | 65 | x   |   |
| 059 | 09 | 9   |   | 108 | 43 | RCL |   |
| 060 | 54 | )   |   | 109 | 05 | 05  |   |
| 061 | 42 | STO |   | 110 | 39 | CDS |   |
| 062 | 09 | 09  | $1000/9 \in R_4$                          | 111 | 95 | =   | $Y_{i-1}$                               |
| 063 | 95 | =   |   | 112 | 32 | XIT |   |
| 064 | 58 | FIX |   | 113 | 22 | INV |   |
| 065 | 00 | 00  |   | 114 | 37 | P/R |   |
| 066 | 91 | R/S | $\rightarrow$ D affiché                   | 115 | 42 | STO |   |
| 067 | 35 | 1/X | $\leftarrow$ n introduit                  | 116 | 06 | 06  | $\alpha_{i-1} \in R_4$                  |
| 068 | 65 | x   |   | 117 | 32 | XIT |   |
| 069 | 43 | RCL |   | 118 | 00 | 0   | ajoute<br>360°                          |
| 070 | 04 | 04  |   | 119 | 77 | GE  | si valeur<br>négative                   |
| 071 | 95 | =   |   | 120 | 45 | YX  | (SBR $\gamma^r$ )                       |
| 072 | 42 | STO |   | 121 | 32 | XIT |   |
| 073 | 04 | 04  | $\Psi \in R_4$                            | 122 | 58 | FIX |   |
| 074 | 92 | RTN |   | 123 | 00 | 00  |   |
| 075 | 76 | LBL | Calculs de $\alpha_{i-1}$                 | 124 | 91 | R/S | $\rightarrow$ $\alpha_{i-1}$<br>affiché |
| 076 | 19 | C   | $\lambda_i, \gamma_i, \beta_i, \delta_i$  | 125 | 39 | CDS |   |
| 077 | 43 | RCL | à partir de $\lambda_{i-1}, \theta_{i-1}$ | 126 | 65 | x   |   |
| 078 | 03 | 03  | $\Psi, \lambda, \theta$                   | 127 | 43 | RCL |   |
| 079 | 75 | -   | (SBR C)                                   | 128 | 00 | 00  |   |
| 080 | 43 | RCL |   | 129 | 39 | CDS |   |
| 081 | 01 | 01  |   | 130 | 65 | x   |   |
| 082 | 95 | =   |   | 131 | 43 | RCL |   |
| 083 | 42 | STO |   | 132 | 04 | 04  |   |
| 084 | 05 | 05  | $\theta - \theta_{i-1} \in R_5$           | 133 | 38 | SIN |   |
| 085 | 38 | SIN |   | 134 | 85 | +   |   |
| 086 | 65 | x   |   | 135 | 43 | RCL |   |
| 087 | 43 | RCL |   | 136 | 00 | 00  |   |
| 088 | 02 | 02  |   | 137 | 38 | SIN |   |
| 089 | 39 | CDS |   | 138 | 65 | x   |   |
| 090 | 95 | =   | $X_{i-1}$                                 | 139 | 43 | RCL |   |
| 091 | 32 | XIT |   | 140 | 04 | 04  |   |
| 092 | 43 | RCL |   | 141 | 39 | CDS |   |
| 093 | 02 | 02  |   | 142 | 95 | =   | $Z_i$                                   |
| 094 | 38 | SIN |   | 143 | 22 | INV |   |
| 095 | 65 | x   |   | 144 | 38 | SIN |   |
| 096 | 43 | RCL |   | 145 | 42 | STO |   |
| 097 | 00 | 00  |   | 146 | 08 | 08  | $\lambda_i \in R_5$                     |
| 098 | 39 | CDS |   | 147 | 58 | FIX |   |

|     |    |     |                           |
|-----|----|-----|---------------------------|
| 148 | 02 | 02  |                           |
| 149 | 22 | INV |                           |
| 150 | 33 | DMS |                           |
| 151 | 91 | R/S | - $\lambda_i$ affiché     |
| 152 | 43 | RCL |                           |
| 153 | 04 | 04  |                           |
| 154 | 39 | CDS |                           |
| 155 | 65 | *   |                           |
| 156 | 43 | RCL |                           |
| 157 | 00 | 00  |                           |
| 158 | 39 | CDS |                           |
| 159 | 75 | -   |                           |
| 160 | 43 | RCL |                           |
| 161 | 04 | 04  |                           |
| 162 | 38 | SIN |                           |
| 163 | 65 | *   |                           |
| 164 | 43 | RCL |                           |
| 165 | 00 | 00  |                           |
| 166 | 38 | SIN |                           |
| 167 | 65 | *   |                           |
| 168 | 43 | RCL |                           |
| 169 | 06 | 06  |                           |
| 170 | 39 | CDS |                           |
| 171 | 95 | =   |                           |
| 172 | 43 | EXC | $K_{i-1}$ remplace        |
| 173 | 06 | 06  | $\alpha_{i-1}$ dans $R_4$ |
| 174 | 38 | SIN |                           |
| 175 | 65 | *   |                           |
| 176 | 43 | RCL |                           |
| 177 | 04 | 04  |                           |
| 178 | 38 | SIN |                           |
| 179 | 95 | =   |                           |
| 180 | 42 | STD |                           |
| 181 | 07 | 07  | $L_{j-1} \in R_7$         |
| 182 | 65 | *   |                           |
| 183 | 43 | RCL |                           |
| 184 | 01 | 01  |                           |
| 185 | 39 | CDS |                           |
| 186 | 65 | +   |                           |
| 187 | 43 | RCL |                           |
| 188 | 06 | 06  |                           |
| 189 | 65 | *   |                           |
| 190 | 43 | RCL |                           |
| 191 | 01 | 01  |                           |
| 192 | 38 | SIN |                           |
| 193 | 95 | =   |                           |
| 194 | 48 | EXC | $y_i$ remplace            |
| 195 | 06 | 06  | $K_{i-1}$ dans $R_4$      |
| 196 | 65 | *   |                           |

|     |    |     |                                      |
|-----|----|-----|--------------------------------------|
| 197 | 43 | RCL |                                      |
| 198 | 01 | 01  |                                      |
| 199 | 39 | CDS |                                      |
| 200 | 75 | -   |                                      |
| 201 | 43 | RCL |                                      |
| 202 | 07 | 07  |                                      |
| 203 | 65 | *   |                                      |
| 204 | 43 | RCL |                                      |
| 205 | 01 | 01  |                                      |
| 206 | 38 | SIN |                                      |
| 207 | 95 | =   | $x_i$                                |
| 208 | 55 | +   |                                      |
| 209 | 43 | RCL |                                      |
| 210 | 08 | 08  |                                      |
| 211 | 39 | CDS |                                      |
| 212 | 95 | =   |                                      |
| 213 | 22 | INV |                                      |
| 214 | 39 | CDS |                                      |
| 215 | 65 | *   |                                      |
| 216 | 43 | RCL |                                      |
| 217 | 06 | 06  |                                      |
| 218 | 69 | OP  |                                      |
| 219 | 10 | 10  |                                      |
| 220 | 95 | =   |                                      |
| 221 | 48 | EXC | $\theta_i$ remplace                  |
| 222 | 01 | 01  | $\theta_{i-1}$ dans $R_1$            |
| 223 | 75 | -   |                                      |
| 224 | 43 | RCL |                                      |
| 225 | 01 | 01  |                                      |
| 226 | 95 | =   |                                      |
| 227 | 42 | STD | $\theta_{i-1} - \theta_i$ remplace   |
| 228 | 05 | 05  | $\theta - \theta_{i-1}$ dans $R_3$   |
| 229 | 43 | RCL |                                      |
| 230 | 01 | 01  |                                      |
| 231 | 22 | INV |                                      |
| 232 | 38 | DMS |                                      |
| 233 | 91 | R/S | $\rightarrow \theta_i$ affiché       |
| 234 | 43 | RCL |                                      |
| 235 | 08 | 08  |                                      |
| 236 | 75 | -   |                                      |
| 237 | 43 | RCL |                                      |
| 238 | 00 | 00  |                                      |
| 239 | 95 | =   |                                      |
| 240 | 42 | STD | $\lambda_i - \lambda_{i-1}$ remplace |
| 241 | 06 | 06  | $y_i$ dans $R_6$                     |
| 242 | 32 | XIT |                                      |
| 243 | 00 | 0   | programme                            |
| 244 | 67 | EQ  | particulier                          |
| 245 | 24 | CE  | si $\lambda_i = \lambda_{i-1}$       |

(SBR CE)

|     |    |                |                                |     |    |                |                                 |
|-----|----|----------------|--------------------------------|-----|----|----------------|---------------------------------|
| 246 | 53 | (              |                                | 293 | 32 | ×IT            | ajoute                          |
| 247 | 53 | (              |                                | 294 | 00 | 0              | 360° si                         |
| 248 | 43 | RCL            |                                | 295 | 77 | GE             | valeur < 0                      |
| 249 | 08 | 08             |                                | 296 | 34 | FX             | (SRB $\sqrt{x}$ )               |
| 250 | 38 | SIN            |                                | 297 | 32 | ×IT            |                                 |
| 251 | 85 | +              |                                | 298 | 58 | FIX            |                                 |
| 252 | 01 | 1              |                                | 299 | 00 | 00             |                                 |
| 253 | 54 | )              |                                | 300 | 91 | R/S            | → $\beta_i$ affiché             |
| 254 | 55 | ÷              |                                | 301 | 39 | COS            |                                 |
| 255 | 53 | (              |                                | 302 | 35 | 1/X            |                                 |
| 256 | 43 | RCL            |                                | 303 | 65 | ×              |                                 |
| 257 | 00 | 00             |                                | 304 | 43 | RCL            |                                 |
| 258 | 38 | SIN            |                                | 305 | 09 | 09             |                                 |
| 259 | 85 | +              |                                | 306 | 65 | ×              |                                 |
| 260 | 01 | 1              |                                | 307 | 43 | RCL            |                                 |
| 261 | 54 | )              |                                | 308 | 06 | 06             |                                 |
| 262 | 65 | ×              |                                | 309 | 95 | =              |                                 |
| 263 | 43 | RCL            |                                | 310 | 50 | I×I            |                                 |
| 264 | 00 | 00             |                                | 311 | 58 | FIX            |                                 |
| 265 | 39 | COS            |                                | 312 | 01 | 01             |                                 |
| 266 | 55 | ÷              |                                | 313 | 91 | R/S            | → $\delta_i$ affiché            |
| 267 | 43 | RCL            |                                | 314 | 43 | RCL            |                                 |
| 268 | 08 | 08             |                                | 315 | 08 | 08             |                                 |
| 269 | 39 | COS            |                                | 316 | 42 | STD            | $\lambda_i$ remplace            |
| 270 | 54 | )              |                                | 317 | 00 | 00             | $\lambda_{i-1}$ dans $R_i$      |
| 271 | 23 | LHX            |                                | 318 | 61 | GTO            | calcul du tronçon               |
| 272 | 35 | 1/X            |                                | 319 | 13 | C              | suitant ( $M_i, M_{i+1}$ ):     |
| 273 | 65 | ×              |                                | 320 | 76 | LBL            | retour à C                      |
| 274 | 43 | RCL            |                                | 321 | 33 | X <sup>2</sup> |                                 |
| 275 | 05 | 05             |                                | 322 | 43 | RCL            | ajoute 180° à                   |
| 276 | 94 | +/-            |                                | 323 | 00 | 00             | (Arctg $\text{tg}\beta_i$ ) deg |
| 277 | 65 | ×              |                                | 324 | 85 | +              | si $\lambda_{i-1} > \lambda_i$  |
| 278 | 89 | ÷              |                                | 325 | 01 | 1              | (SBR X <sup>2</sup> )           |
| 279 | 55 | ÷              |                                | 326 | 08 | 8              |                                 |
| 280 | 01 | 1              |                                | 327 | 00 | 0              |                                 |
| 281 | 08 | 8              |                                | 328 | 95 | =              |                                 |
| 282 | 00 | 0              |                                | 329 | 61 | GTO            |                                 |
| 283 | 95 | =              |                                | 330 | 02 | 02             | retour au                       |
| 284 | 22 | INV            |                                | 331 | 98 | 98             | pas 298                         |
| 285 | 30 | TAN            |                                | 332 | 76 | LBL            |                                 |
| 286 | 42 | STD            | Arctg( $\text{tg}\beta_i$ )    | 333 | 34 | FX             | ajoute 360° à                   |
| 287 | 00 | 00             | remplace $\lambda_0$           | 334 | 32 | ×IT            | $\beta_i$                       |
| 288 | 00 | 0              | ajoute 180°                    | 335 | 85 | +              | si valeur                       |
| 289 | 77 | GE             | si $\lambda_{i-1} > \lambda_i$ | 336 | 03 | 3              | trouvée < 0                     |
| 290 | 33 | X <sup>2</sup> | (SRB X <sup>2</sup> )          | 337 | 06 | 6              | (SBR $\sqrt{x}$ )               |
| 291 | 43 | RCL            |                                | 338 | 00 | 0              |                                 |
| 292 | 00 | 00             |                                | 339 | 95 | =              |                                 |
|     |    |                |                                | 340 | 61 | GTO            |                                 |

|     |    |     |                              |     |    |     |                              |
|-----|----|-----|------------------------------|-----|----|-----|------------------------------|
| 341 | 02 | 02  | retour au                    | 364 | 00 | 0   |                              |
| 342 | 98 | 98  | pas 298                      | 365 | 91 | R/S | pas n° 365 : $\beta_i$       |
| 343 | 76 | LBL |                              | 366 | 43 | RCL | affiché quand égal           |
| 344 | 45 | Y*  |                              | 367 | 09 | 09  | à 90° ou 270° *              |
| 345 | 32 | XIT | ajoute 360°                  | 368 | 65 | x   |                              |
| 346 | 85 | +   | à $\lambda_{i-1}$ si         | 369 | 43 | RCL |                              |
| 347 | 03 | 3   | trouvée < 0                  | 370 | 05 | 05  |                              |
| 348 | 06 | 6   | (SBR $\gamma'$ )             | 371 | 65 | x   |                              |
| 349 | 00 | 0   |                              | 372 | 43 | RCL |                              |
| 350 | 95 | =   |                              | 373 | 08 | 08  |                              |
| 351 | 61 | GTO |                              | 374 | 39 | CDS |                              |
| 352 | 01 | 01  | retour au pas 122            | 375 | 95 | =   |                              |
| 353 | 22 | 22  |                              | 376 | 61 | GTO |                              |
| 354 | 76 | LBL |                              | 377 | 03 | 03  | retour au                    |
| 355 | 24 | CE  |                              | 378 | 10 | 10  | pas 310                      |
| 356 | 43 | RCL | (SBR CE)                     | 379 | 76 | LBL | afficher 90°                 |
| 357 | 05 | 05  | affiche 90°                  | 380 | 29 | CP  | si $\theta_i > \theta_{i-1}$ |
| 358 | 32 | XIT | si $\theta_i > \theta_{i-1}$ | 381 | 09 | 9   |                              |
| 359 | 00 | 0   |                              | 382 | 00 | 0   | (SBR CP)                     |
| 360 | 77 | GE  |                              | 383 | 61 | GTO |                              |
| 361 | 29 | CP  |                              | 384 | 03 | 03  |                              |
| 362 | 02 | 2   |                              | 385 | 65 | 65  |                              |
| 363 | 07 | 7   |                              |     |    |     |                              |

## V - Utilisation du programme

- Latitudes et longitudes sont écrites en degrés et minutes sous la forme ddd.mm (signe + pour latitudes N et longitudes E ; signe - pour latitudes S et longitudes W).
- Les distances sont écrites en km.
- Les caps sont donnés de 0° à 360°.

### 1) Entrée des données de $M_0$ et M

|          |               |           |
|----------|---------------|-----------|
| Afficher | $\lambda_0$ ; | presser A |
|          | $\theta_0$    | R/S       |
|          | $\lambda$     | R/S       |
|          | $\theta$      | R/S       |

### 2) Calcul de D et entrée de n

|         |       |               |
|---------|-------|---------------|
| Presser | B - D | affiché en km |
| Entrer  | n     | presser R/S   |

### 3) Calcul de la navigation

Presser successivement

|       |   |              |                |
|-------|---|--------------|----------------|
| C     | → | affichage de | $\alpha_0$     |
| R/S   | " |              | $\lambda_1$    |
| R/S   | " |              | $\theta_1$     |
| R/S   | " |              | $\beta_1$      |
| R/S   | " |              | $\delta_1$     |
| R/S   | " |              | $\alpha_1$     |
| <hr/> |   |              |                |
| R/S   | " |              | $\alpha_{i-1}$ |
| R/S   | " |              | $\lambda_i$    |
| R/S   | " |              | $\theta_i$     |
| R/S   | " |              | $\beta_i$      |
| R/S   | " |              | $\delta_i$     |
| R/S   | " |              | $\alpha_i$     |
| <hr/> |   |              |                |
| R/S   | " |              | $\delta_n$     |

## VI - Exemples

1) De Paris Roissy ( $49^{\circ}02'N$ ,  $2^{\circ}35'E$ ) à New York JFK ( $40^{\circ}38'N$ ,  $73^{\circ}50'W$ ) avec  $n=5$

$$D = 5835 \text{ km} \quad \sum_{i=1}^5 \delta_i = 5845 \text{ km} \quad D/n = 1166,9 \text{ km}$$

|                  | $\alpha_i$ | $\lambda_i$ | $\theta_i$ | $\beta_i$ | $\delta_i$ |
|------------------|------------|-------------|------------|-----------|------------|
| $M_0$ (Paris)    | 292°       | 49°02'      | + 2°35'    | 286°      | 1169,2km   |
| $M_1$            | 279°       | 51°51'      | - 13°20'   |           |            |
| $M_2$            | 266°       | 52°19'      | - 30°27'   | 273°      | 1169,7     |
| $M_3$            | 253°       | 50°21'      | - 47°00'   | 259°      | 1169,4     |
| $M_4$            | 242°       | 46°16'      | - 61°36'   | 247°      | 1168,7     |
| $M_5$ (New York) |            | 40°38'      | - 73°50'   | 238°      | 1168,0     |

2) Même trajet Paris-New York avec  $n=1$

|                 | $\alpha_i$ | $\lambda_i$ | $\theta_i$ | $\beta_i$ | distance<br>loxodro-<br>mique | distance<br>géodésique<br>D |
|-----------------|------------|-------------|------------|-----------|-------------------------------|-----------------------------|
| Paris Roissy    | 292°       | 49°02'      | 2°35'      | 261°      | 6077km                        | 5835km                      |
| New York<br>JFK |            | 40°38'      | -73°50'    |           |                               |                             |

3) Autres exemples avec  $n=1$ 

|   | $\alpha_i$ | $\lambda_i$      | $\theta_i$       | $\beta_i$ | distance<br>loxodro-<br>mique $\hat{\delta}_i$ | distance<br>géodésique<br>D |
|---|------------|------------------|------------------|-----------|--|-----------------------------|
| Calais Mark<br>Marseille<br>Marignane       | 162°       | 50°58'<br>43°26' | 1°57'<br>5°12'   | 164°      | 872,1 <sub>km</sub>                            | 872,0 <sub>km</sub>         |
| Brest<br>Guipavas<br>Strasbourg<br>Entzheim | 85°        | 48°26'<br>48°32' | -4°25'<br>+7°38' | 89°       | 887,5 <sub>km</sub>                            | 886,6 <sub>km</sub>         |

*Remarque* : sur le trajet presque N.S., loxodromie et géodésique sont plus proches l'une de l'autre que sur le trajet W.E. à la latitude non négligeable de la France.